

MASTERARBEIT 2021

Sommertrockenheit prägt die Schmetterlings-Blüten-Netzwerke im Grünland stärker als die Landnutzung in einem österreichischen Naturschutzgebiet



e.depisch@gmail.com

Schmetterling-Blüten Netzwerke

Bestäubung

Eine unbestritten wichtige "Dienstleistung".

Hohe Komplexität

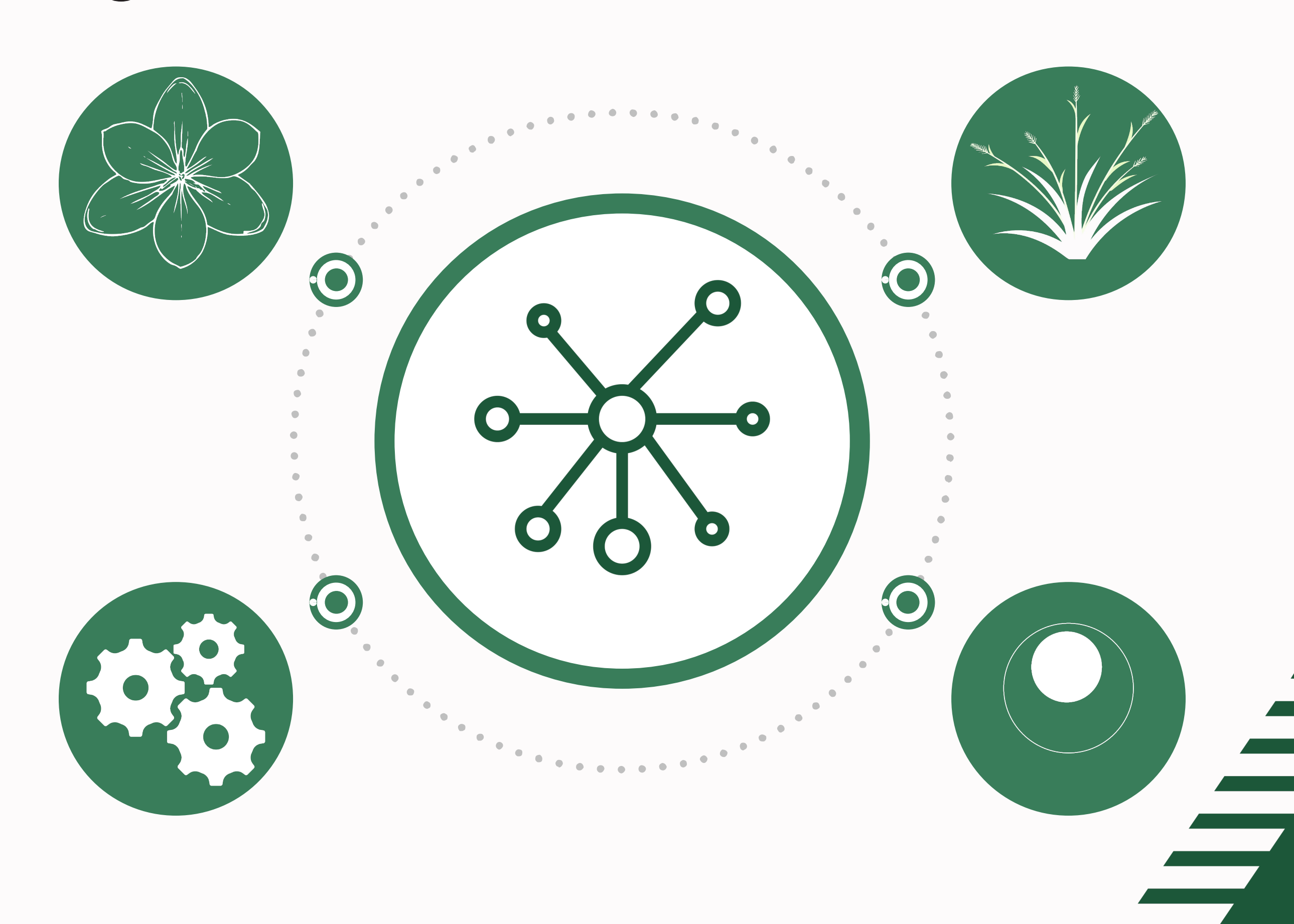
Schwierigkeit: Hohe Komplexität innerhlalb eines Ökosystems macht die Analyse schwierig bis nicht machbar

Teilmenge

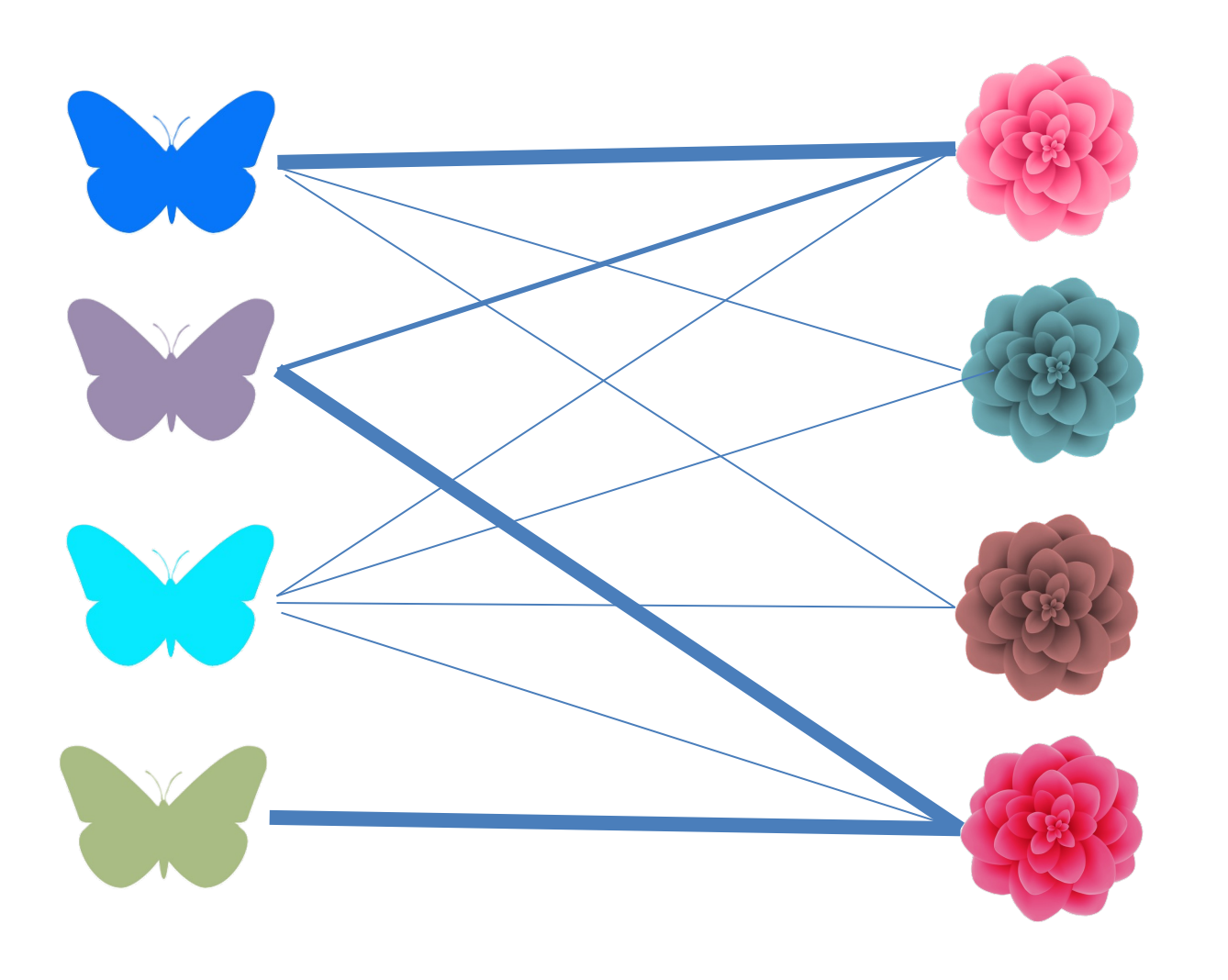
Lösungsansatz: Nur eine Teilmenge verwenden: Schmetterlinge

National Park Neusiedler See Seewinkel

Verschiedene Graslandtypen durch unterschiedliches Management

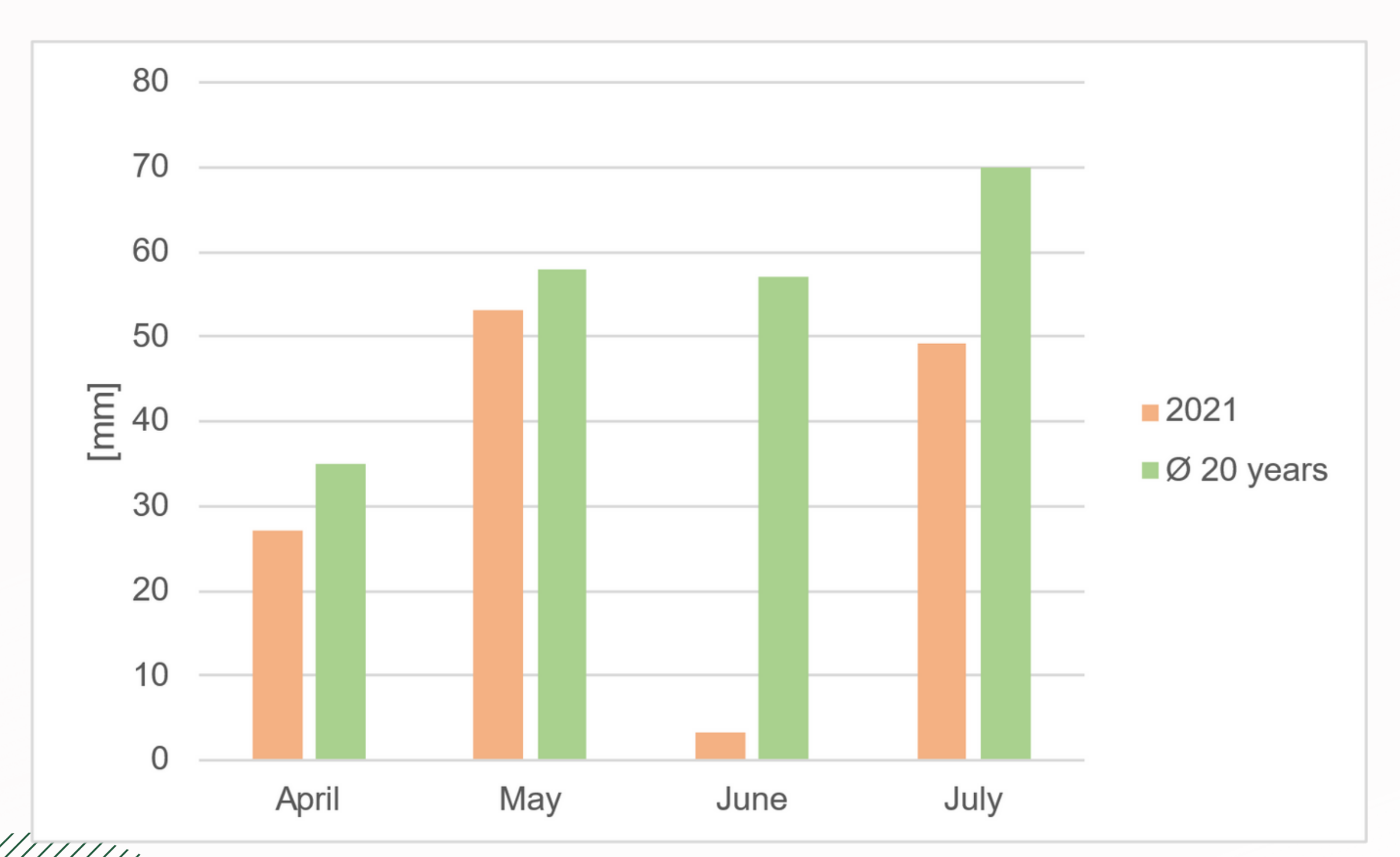


NETZWERK METRIKEN

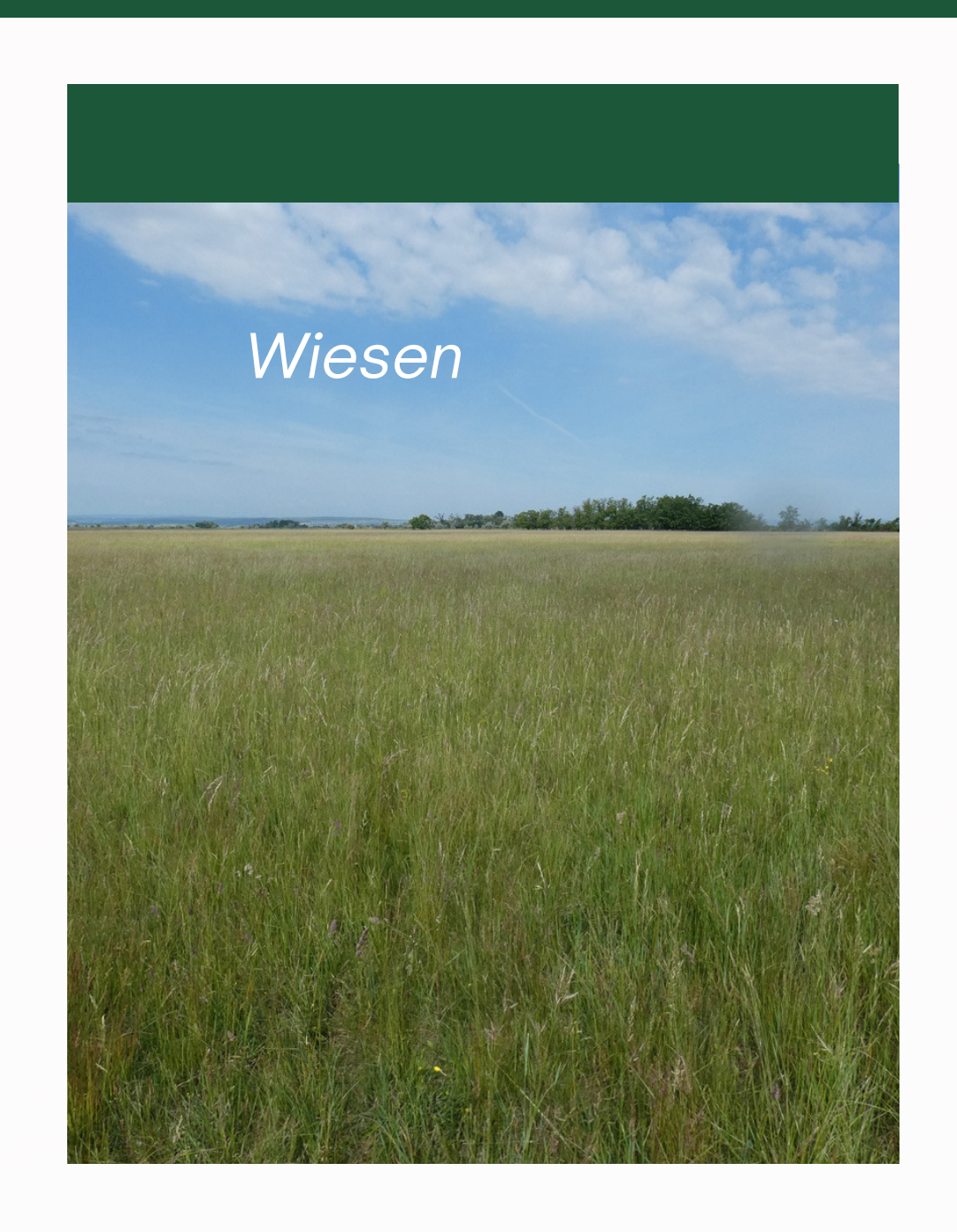


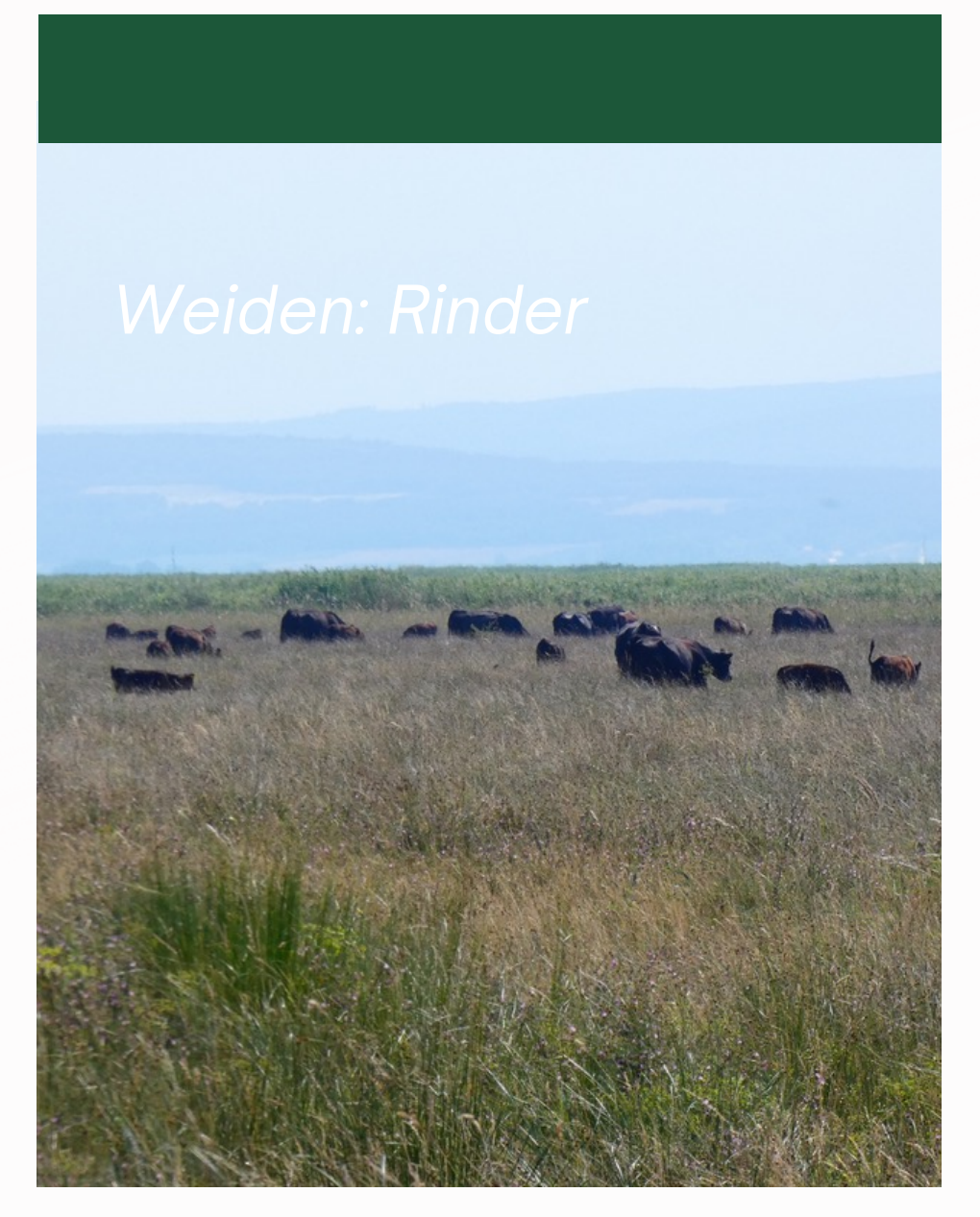
Schwierigkeit

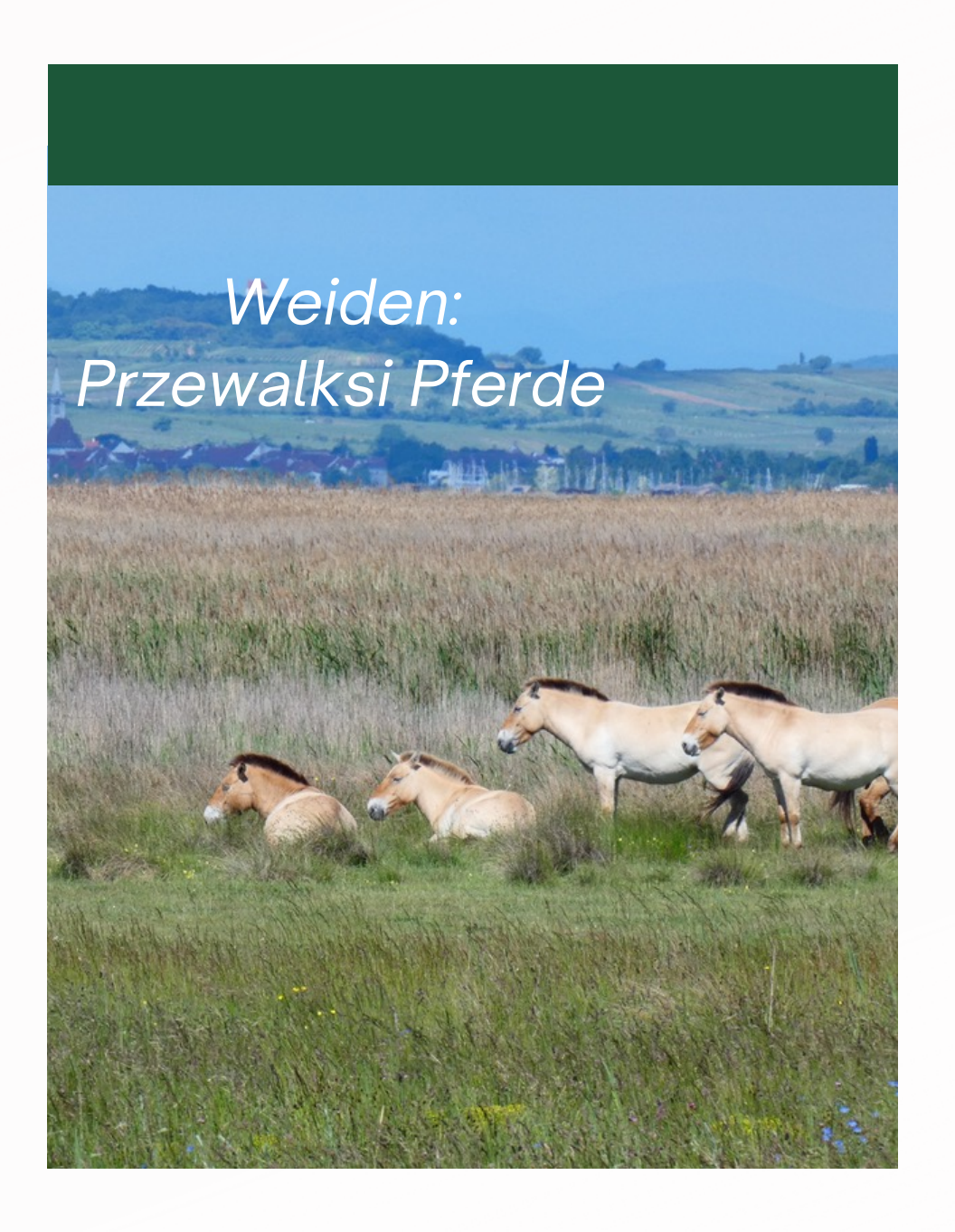
Dürre im Sommer 2021

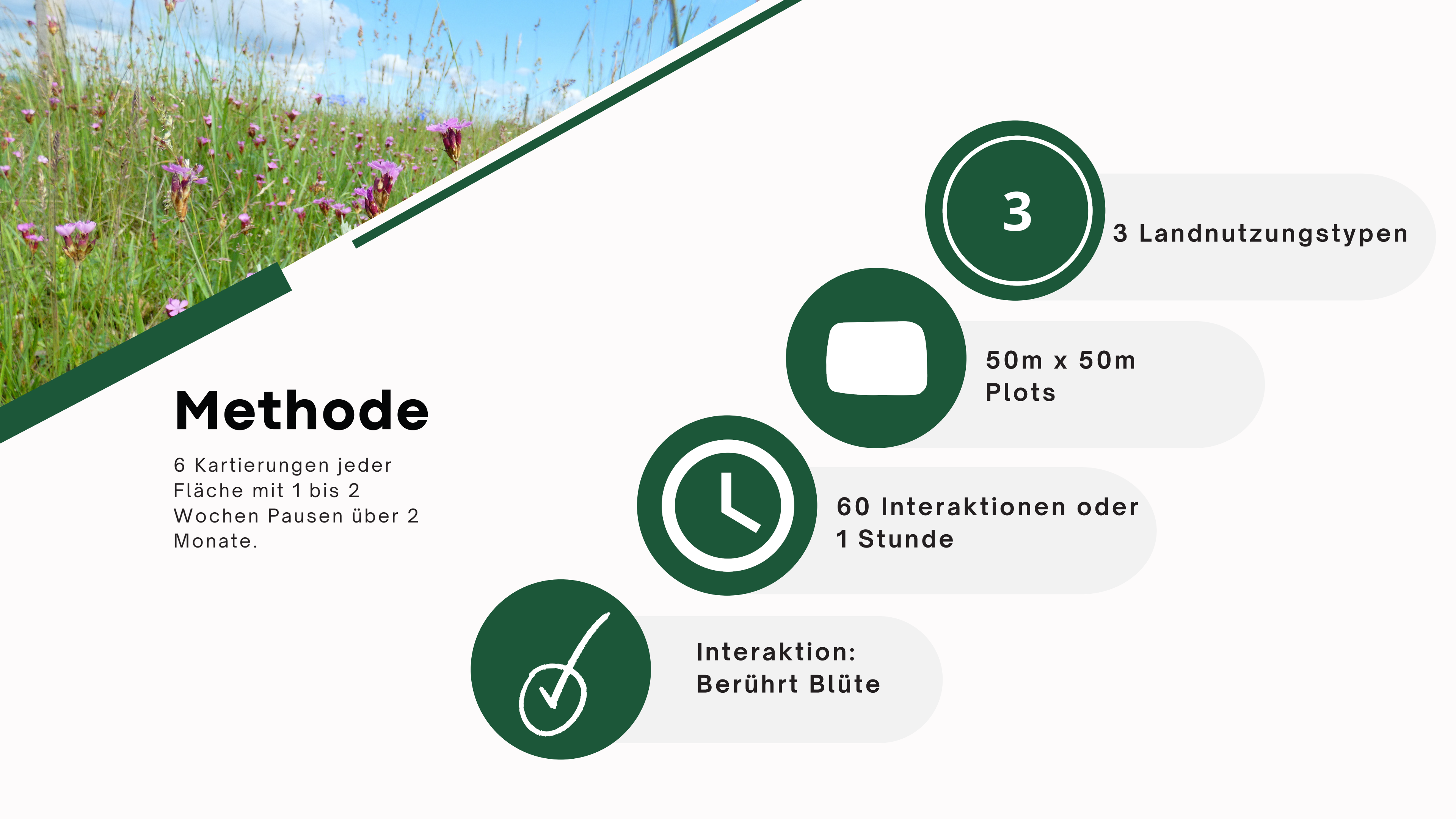


Landnutzungstypen

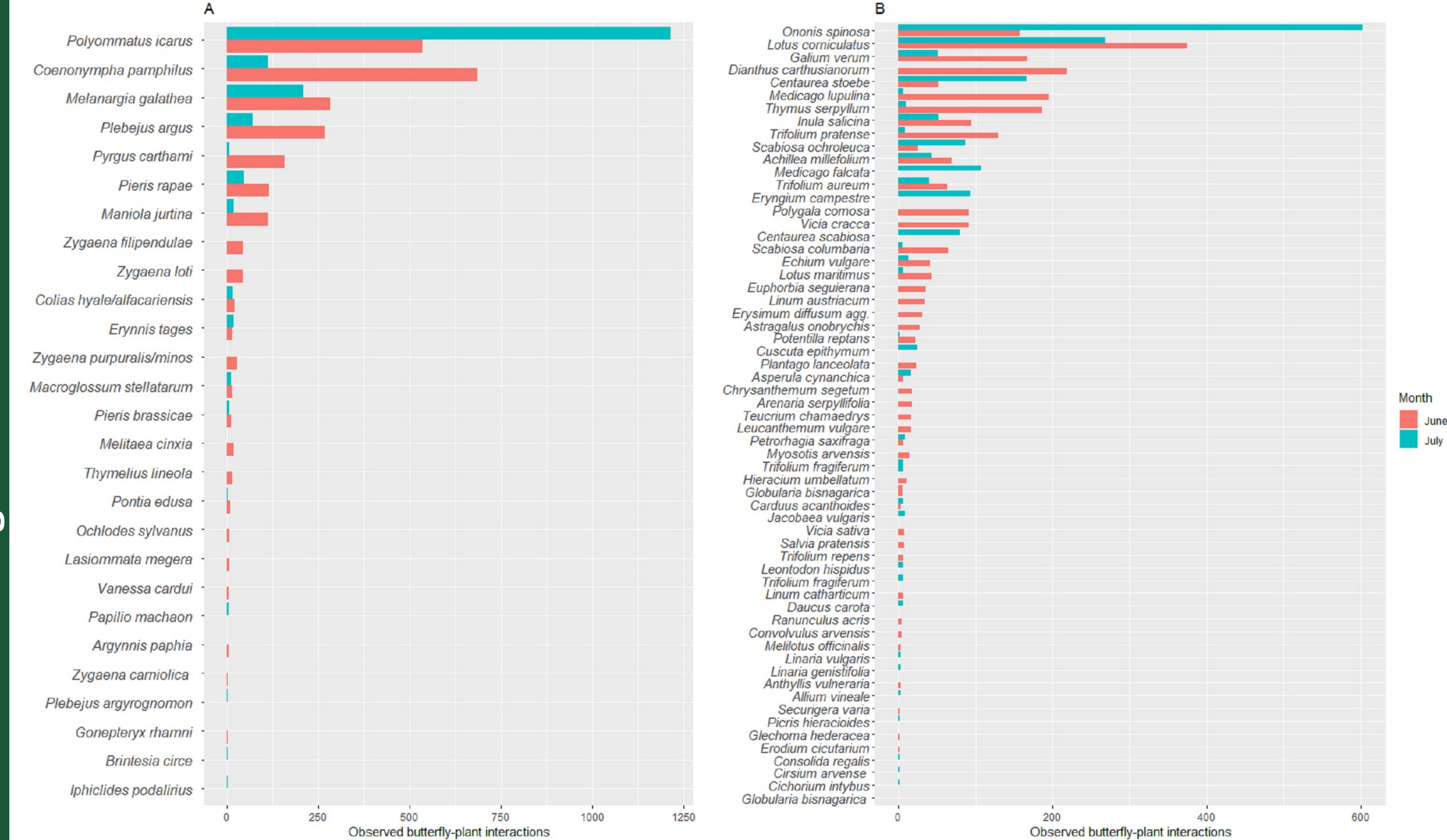


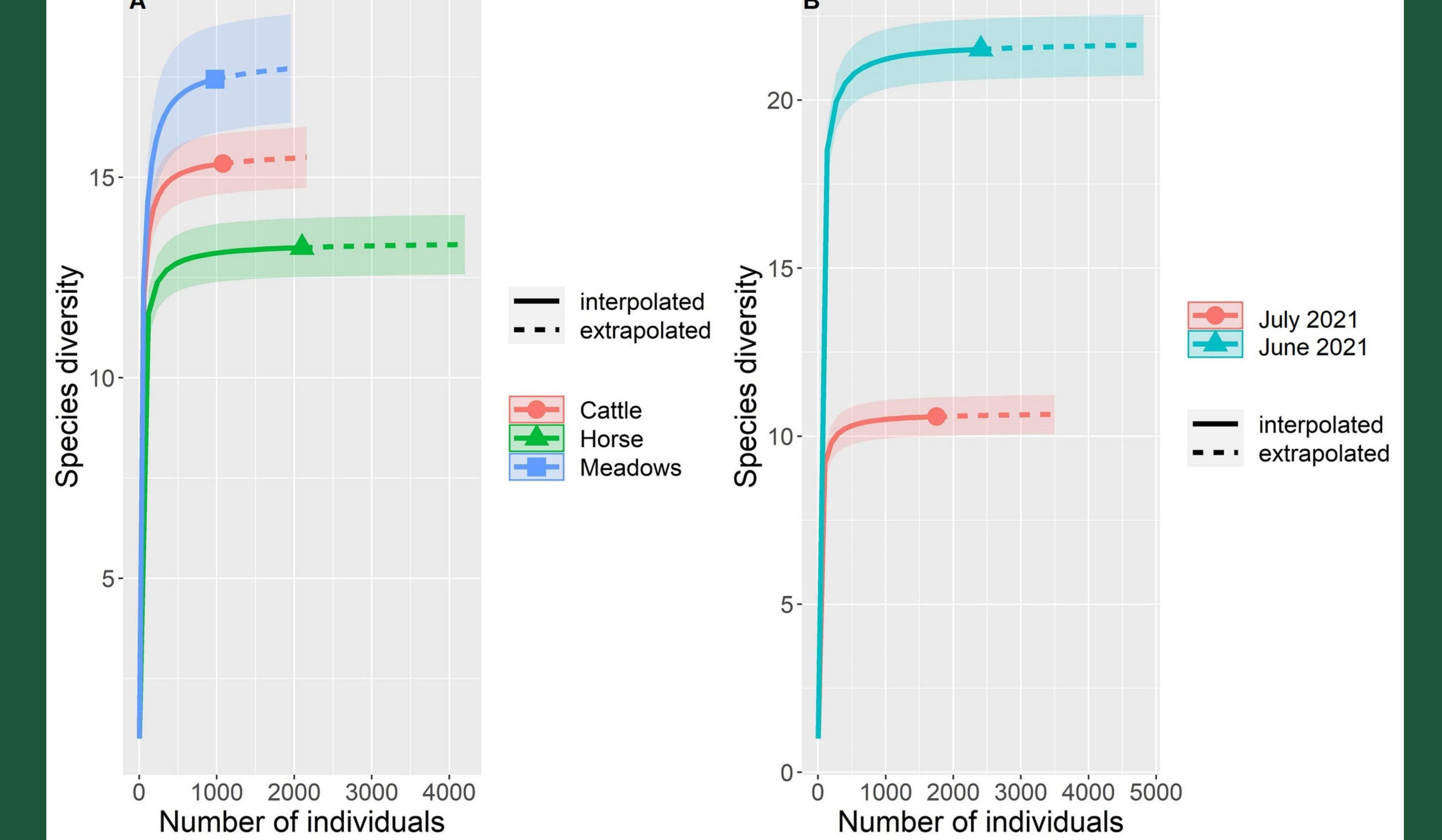


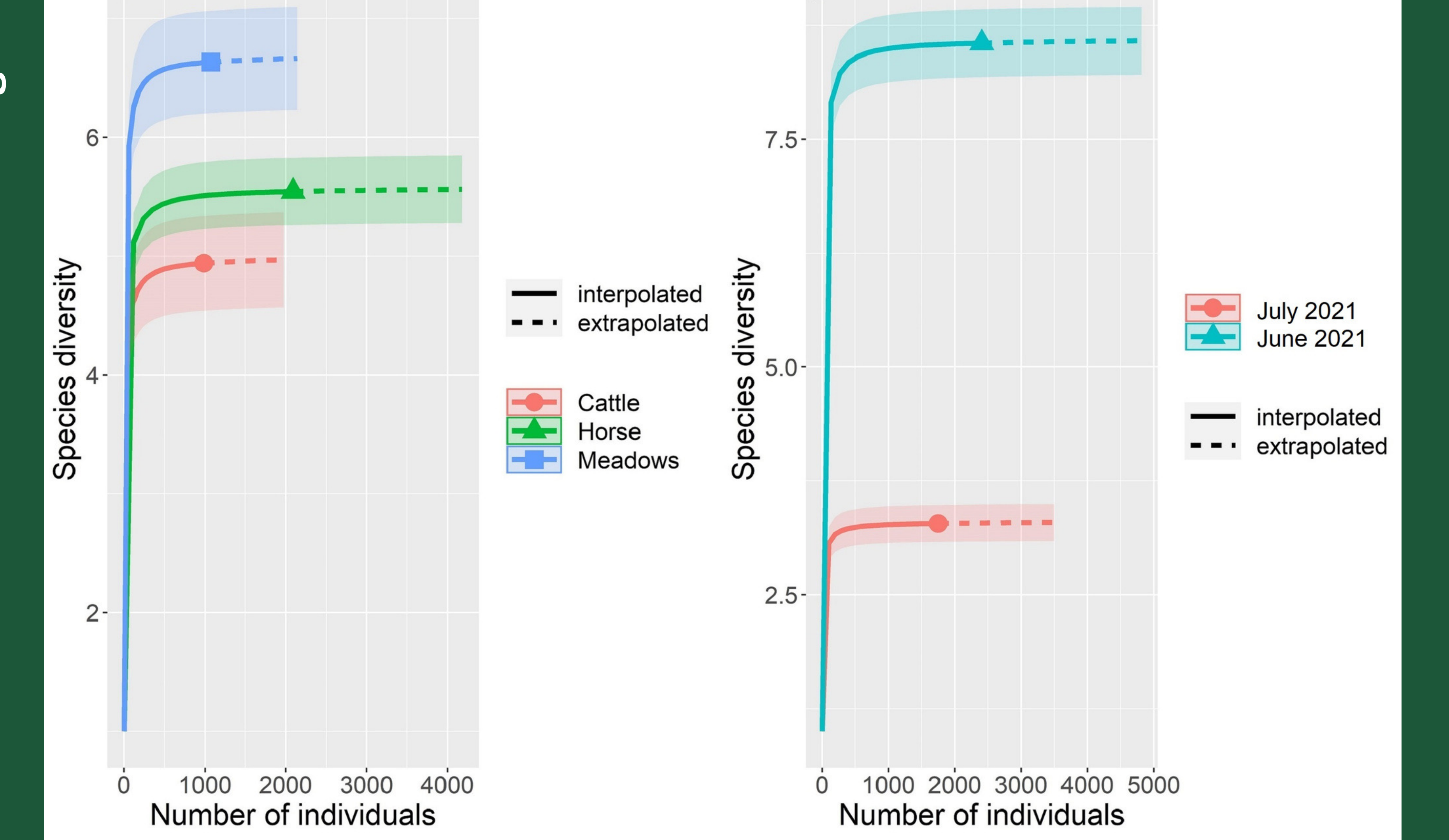


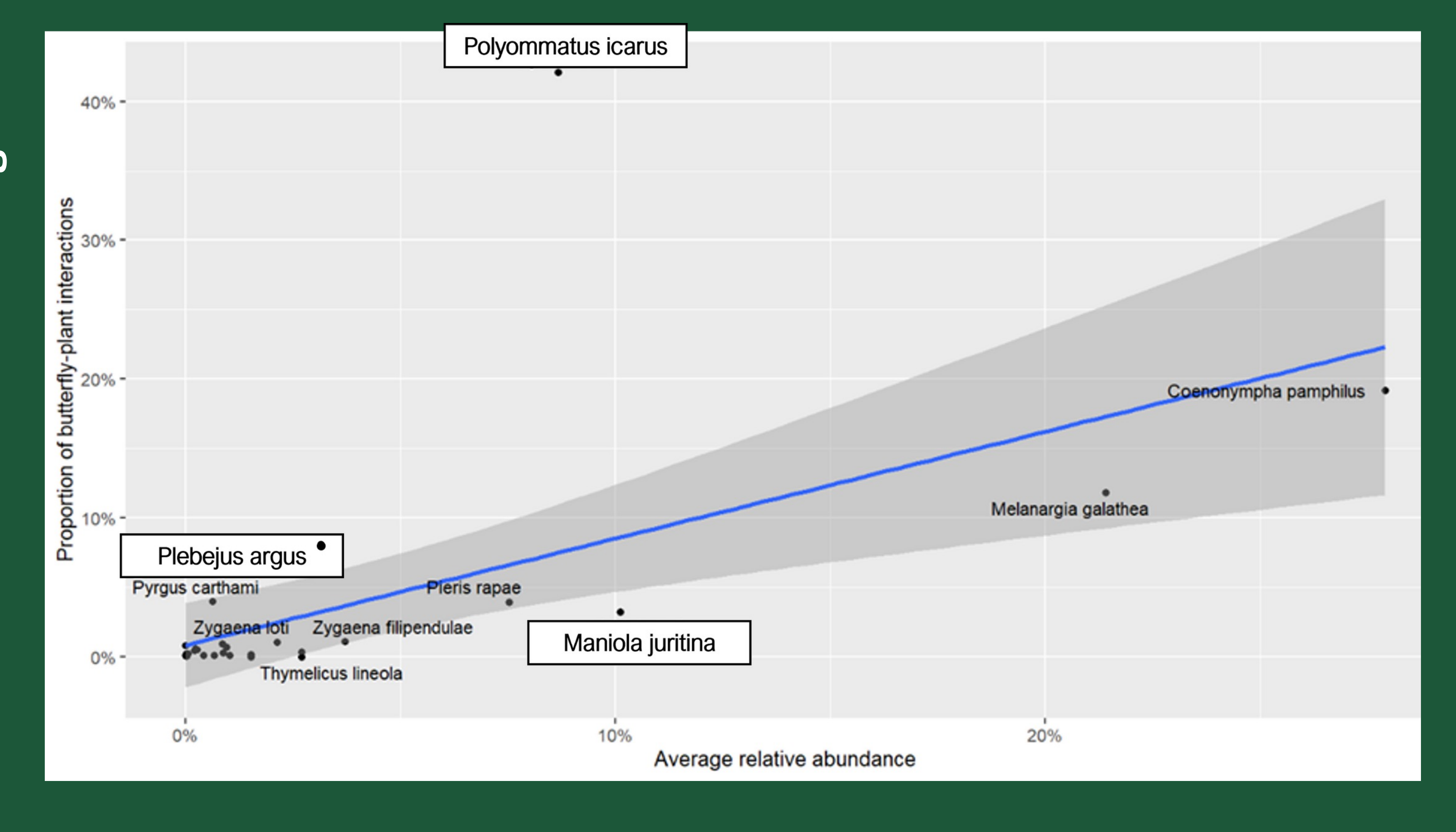












Achillea millefolium
Anthyllis vulneraria
Arenaria serpyllifolia
Asperula cynanchica
Astragalus onobrychis
Carduus acanthoides
Centaurea stoebe
Chrysanthemum segetum
Convolvulus arvensis

Dianthus carthusianorum

Echium vulgare Erodium cicutarium Erysimum diffusum agg. Euphorbia seguierana

Galium verum

Glechoma hederacea Globularia bisnagaria Hieracium umbellatum

Inula salicina

Leucanthemum vulgare Linum austriacum Linum catharticum

Lotus corniculatus

Lotus maritimus

Medicago lupulina

Melilotus officinalis Myosotis arvensis

Ononis spinosa

Petrorhagia saxifraga Plantago lanceolata

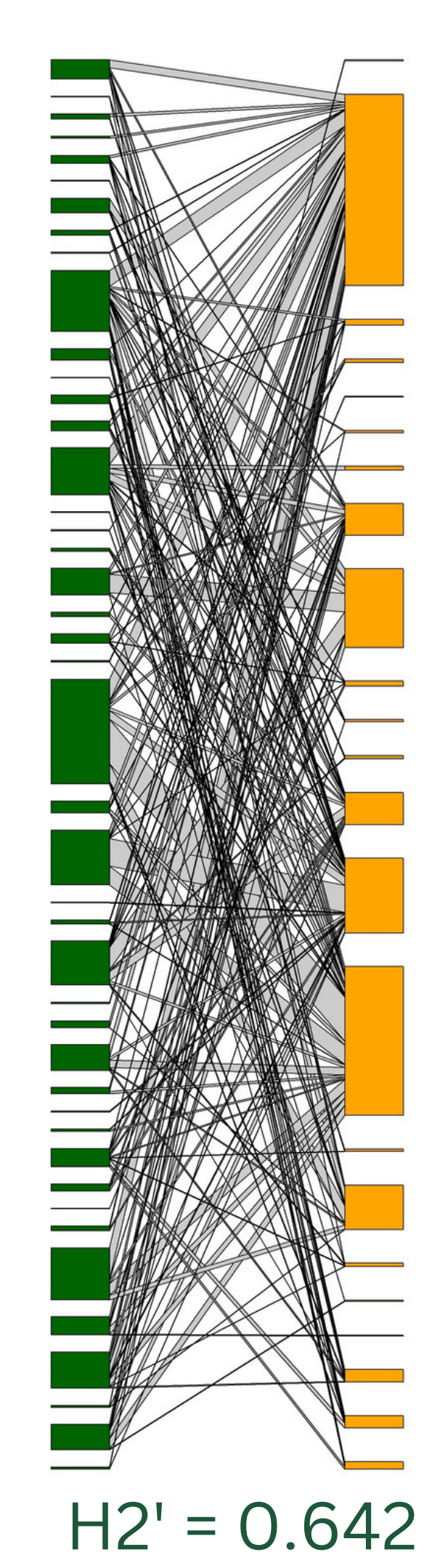
Polygala comosa

Potentilla reptans Ranunculus acris Salvia pratensis Scabiosa columbaria Scabiosa ochroleuca Securigera varia Teucrium chamaedrys

Thymus serpyllum

Trifolium aureum

Trifolium pratense Trifolium repens Vicia cracca Vicia sativa



Argynnis paphia

Coenonympha pamphilus

Colias hyale/alfacariensis
Erynnis tages
Gonepteryx rhamni
Lasiommata megera
Macroglossum stellatarum

Maniola jurtina

Melanargia galathea

Melitaea cinxia Ochlodes sylvanus Pieris brassicae

Pieris rapae

Plebejus argus

Polyommatus icarus

Pontia edusa

Pyrgus carthami

Thymelius lineola
Vanessa cardui
Zygaena carniolica
Zygaena filipendulae

Zygaena loti

Zygaena purpuralis / minos

Achillea millefolium Allium vineale Asperula cynanchica Carduus acanthoides

Centaurea scabiosa

Centaurea stoebe

Cichorium intybus Cirsium arvensis Consolida regalis Cuscuta epithymum Daucus carota Echium vulgare

Eryngium campestre

Galium verum

Inula salicina Jacobaea vulgaris Leontodon hispidus Linaria genistifolia Linaria vulgaris

Lotus corniculatus

Lotus maritimus Medicago falcata

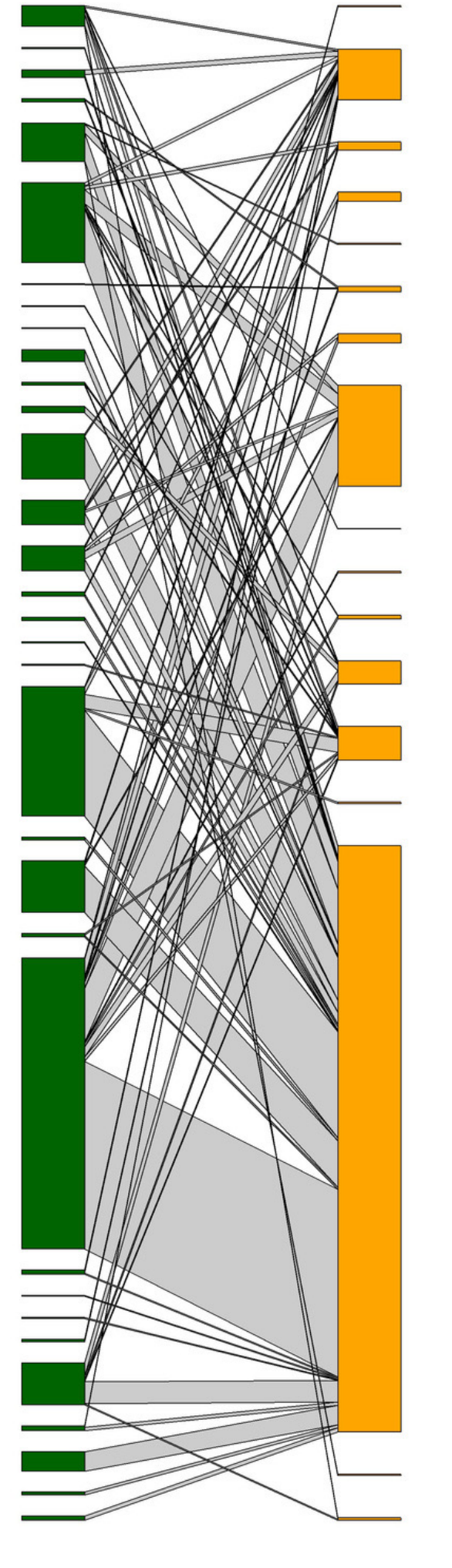
Medicago lupulina

Ononis spinosa

Petrorhagia saxifraga Picris hieracioides Potentilla reptans Scabiosa columbaria

Scabiosa ochroleuca

Thymus serpyllum Trifolium aureum Trifolium fragiferum Trifolium pratense



Brintesia circe

Erynnis tages

Coenonympha pamphilus

Colias hyale/alfacariensis

Iphiclides podalirius Macroglossum stellatarum

Maniola jurtina

Melanargia galathea

Melitaea cinxia Papilio machaon

Pieris brassicae

Pieris rapae

Plebejus argus

Plebejus argyrognomon

Polyommatus icarus

Pontia edusa Pyrgus carthami

H2' = 0.250

Achillea millefolium
Anthyllis vulneraria
Asperula cynanchica
Astragalus onobrychis
Carduus acanthoides
Centaurea scabiosa
Centaurea stoebe
Daucus carota
Dianthus carthusianorum

Echium vulgare Eryngium campestre Euphorbia seguierana

Galium verum

Leucanthemum vulgare Linum austriacum Linum catharticum

Lotus corniculatus

Lotus maritimus Medicago falcata

Medicago lupulina

Ononis spinosa

Petrorhagia saxifraga Plantago lanceolata Polygala comosa Potentilla reptans Scabiosa columbaria

Scabiosa ochroleuca

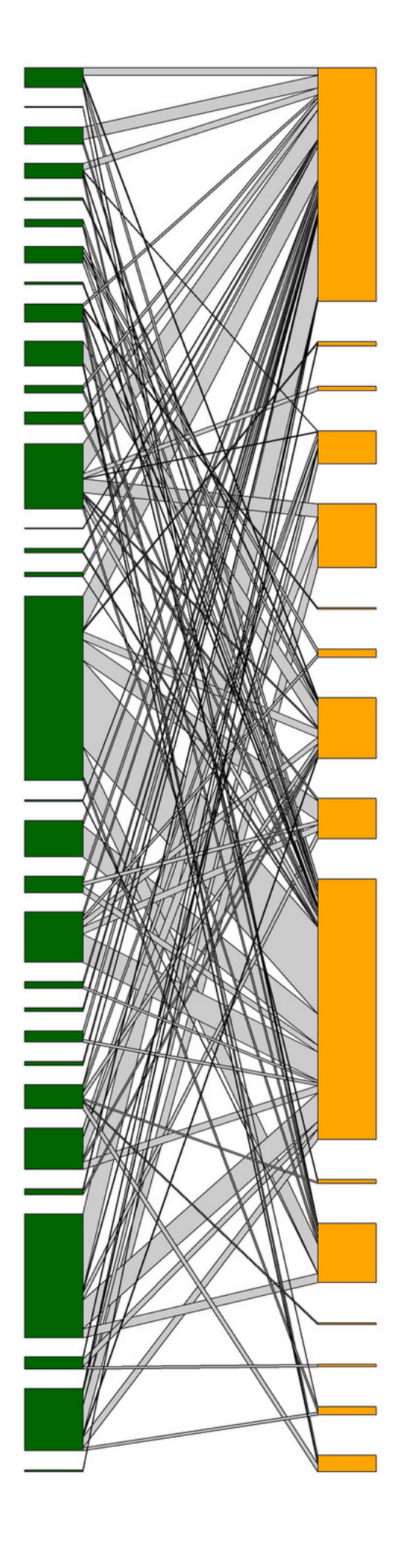
Teucrium chamaedrys

Thymus serpyllum

Trifolium aureum

Trifolium pratense

Trifolium repens



Coenonympha pamphilus

Colias hyale/alfacariensis Macroglossum stellatarum

Maniola jurtina

Melanargia galathea

Melitaea cinxia

Pieris brassicae

Pieris rapae

Plebejus argus

Polyommatus icarus

Pontia edusa

Pyrgus carthami

Thymelius lineola

Zygaena carniolica

Zygaena filipendulae

Zygaena purpuralis/minos

H2'=0.356

Achillea millefolium Allium vineale Arenaria serpyllifolia Astragalus onobrychis Centaurea scabiosa

Centaurea stoebe

Convolvulus arvensis Cuscuta epithymum

Dianthus carthusianorum

Echium vulgare Eryngium campestre Erysimum diffusum agg. Euphorbia seguierana

Galium verum

Globularia bisnagaria Hieracium umbellatum

Inula salicina

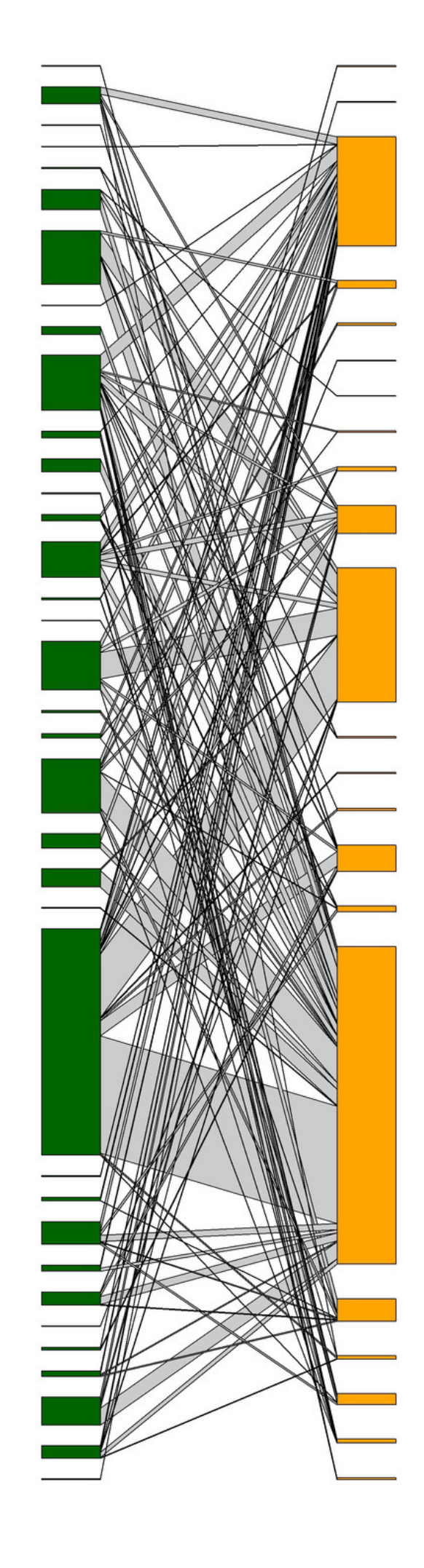
Leontodon hispidus Linum austriacum

Lotus corniculatus

Lotus maritimus Medicago falcata Medicago lupulina

Ononis spinosa

Petrorhagia saxifraga Plantago lanceolata Polygala comosa Potentilla reptans Scabiosa ochroleuca Securigera varia Teucrium chamaedrys Thymus serpyllum Trifolium aureum Trifolium pratense Vicia sativa



Argynnis paphia Brintesia circe

Coenonympha pamphilus

Colias hyale/alfacariensis
Erynnis tages
Gonepteryx rhamni
Iphiclides podalirius
Lasiommata megera
Macroglossum stellatarum
Maniola jurtina

Melanargia galathea

Ochlodes sylvanus Papilio machaon Pieris brassicae

Pieris rapae

Plebejus argus

Polyommatus icarus

Pyrgus carthami
Thymelius lineola
Zygaena filipendulae
Zygaena loti
Zygaena purpuralis/minos

H2'=0.283

Achillea millefolium
Anthyllis vulneraria
Arenaria serpyllifolia
Astragalus onobrychis
Carduus acanthoides
Centaurea scabiosa

Centaurea stoebe

Chrysanthemum segetum
Cichorium intybus
Cirsium arvensis
Consolida regalis
Convolvulus arvensis
Daucus carota
Dianthus carthusianorum

Erodium cicutarium

Eryngium campestre

Erysimum diffusum agg.

Galium verum
Glechoma hederacea
Hieracium umbellatum
Jacobaea vulgaris
Leucanthemum vulgare
Linaria genistifolia
Linaria vulgaris
Linum austriacum

Lotus corniculatus

Lotus maritimus Medicago falcata

Medicago lupulina

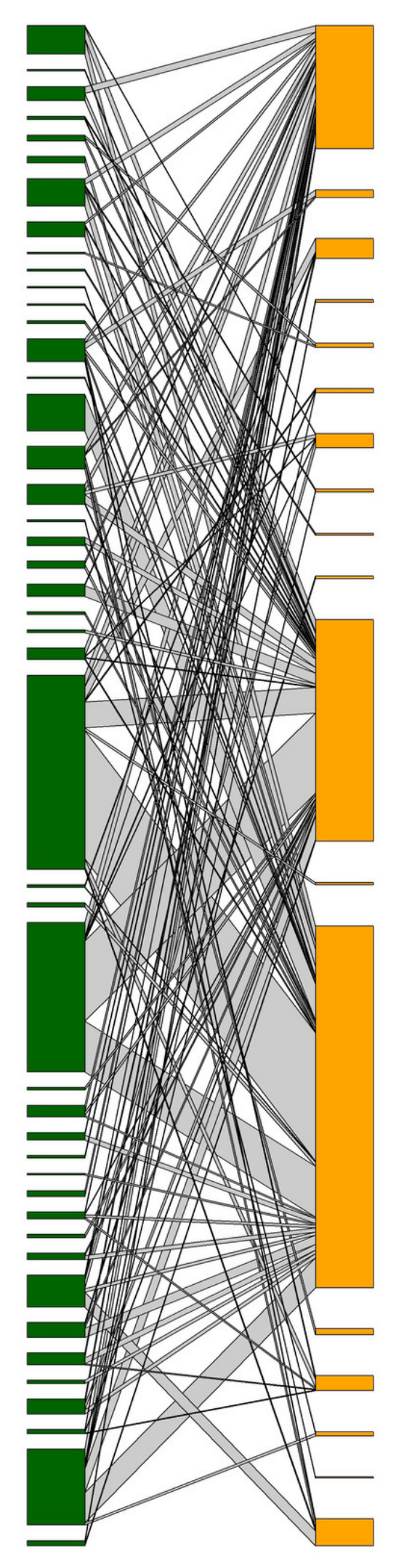
Melilotus officinalis Myosotis arvensis Ononis spinosa Petrorhagia saxifraga Picris hieracioides Plantago lanceolata Polygala comosa Ranunculus acris Salvia pratensis

Scabiosa columbaria

Scabiosa ochroleuca Thymus serpyllum Trifolium aureum Trifolium pratense Trifolium repens

Vicia cracca

Vicia sativa



Coenonympha pamphilus

Colias hyale/alfacariensis

Erynnis tages

Lasiommata megera

Macroglossum stellatarum

Maniola jurtina

Melitaea cinxia

Ochlodes sylvanus

Pieris brassicae

Pieris rapae

Plebejus argus

Plebejus argyrognomon

Polyommatus icarus

Pontia edusa

Pyrgus carthami

Vanessa cardui

Zygaena filipendulae

Zygaena loti

H2'=0.356

zusammenfassung

- 41 60 Interaktionen
- 27 Falter und 59 Pflanzenarten
- 147 neue Kombinationen
 - Artendiversität und -zusammensetzung variierten signifikant zwischen den Graslandtypen und Erhebungsmonaten
 - Netzwerk-Spezialisierung H2' unterschieden sich nicht in Relation zum Graslandtyp, aber nahmen im Juli deutlich ab.

